

# تهیه و شناسایی لیگاندهای آلکیل دی‌تیوکربامات و کمپلکس‌های $\text{Ni}^{2+}$ آن‌ها

نرجس علی صوفی<sup>\*</sup>، حسن منصوری ترشیزی<sup>†</sup>، خاطره عبدالی

گروه شیمی، دانشکده علوم، دانشگاه سیستان و بلوچستان، زاهدان، ایران

**چکیده:** مجموعه‌ای هفت تایی از ترکیب‌های مونوآلکیل دی‌تیوکربامات با فرمول  $R-\text{NHCSSNa}$  ( $R = \text{متیل، اتیل، پروپیل، بوتیل، هگزیل، اکتیل و نونیل}$ ) از واکنش بین آمین‌های مربوطه،  $\text{CS}_2$  و  $\text{NaOH}$  با نسبت مولی  $1:1:1$  در محلول آب-استن یا استن در دمای صفر درجه سلسیوس تهیه شدند. این ترکیب‌ها به کمک روش‌های طیف‌سنجی  $^1\text{H NMR}$ ،  $^1\text{FT-IR}$ ،  $^1\text{UV-Vis}$  و روش‌های غیرطیف‌سنجی آنالیز عنصری، هدایت مولی و نقطه تعزیزی شناسایی شدند. از واکنش هر یک از این ترکیب‌ها با  $\text{Ni}(\text{NO}_3)_2 \cdot 6\text{H}_2\text{O}$  به نسبت مولی  $1:2$  در محیط آبی، هفت کمپلکس دی‌تیوکربامات تهیه شد. این کمپلکس‌ها نیز توسط روش‌های طیف‌سنجی و روش‌های غیرطیف‌سنجی یادشده شناسایی شدند. از نتیجه این مطالعه‌ها می‌توان پیشنهاد داد که هر یک از آلکیل‌های دی‌تیوکربامات به عنوان لیگاند عمل کرده و به صورت دودنده از طریق اتم‌های گوگرد به یون  $\text{Ni}^{2+}$  کوئورده شده و ساختار هندسی اطراف یون نیکل مربوطی است.

**واژه‌های کلیدی:** مونوآلکیل دی‌تیوکربامات‌ها، کمپلکس‌های نیکل (II)، کمپلکس‌های مربع مسطح، روش‌های طیف‌سنجی

**Keywords:** Monoalkyldithiocarbamtes, Ni(II) complexes, Square planar complexes, Spectroscopic methods

## مقدمه

مشتق‌های شیمیایی گروه دی‌تیوکربامات (NHCSS-) می‌باشد. این گروه یا با گروه  $\text{-SH}$  موجود در ساختار آنژیم‌ها و کوانژیم‌های سلول‌ها بهم‌کنش کرده و طی برقراری پیوند کووالانس سولفیدریل، فعالیت کاتالیستی آن‌ها را متوقف و یا به طور مستقیم به یون‌های فلزی موجود در ساختار آنژیم‌ها کوئورده شده و آنژیم را مهار می‌نماید [۵-۷]. تعداد زیادی از کمپلکس‌های فلزهای واسطه با لیگاندهای دی‌تیوکربامات آروماتیک و خطی گزارش شده است. این ترکیب‌ها سهم بزرگی در دفع آفات کشاورزی و ضدغذنی صنعتی دارند [۸، ۹]. در این زمینه کمپلکس‌هایی از دی‌تیوکاربامات‌ها با فلزهای واسطه  $\text{Mn}$ ،  $\text{Fe}$ ،  $\text{Zn}$ ،  $\text{Ni}$  و ... به عنوان آفت‌کش گزارش شده‌اند [۱۰]. برخی از آن‌ها به دلیل فعالیت زیستی چشمگیر، در پزشکی کاربرد داشته و به عنوان دارو در درمان بیماری‌ها به ویژه تومورها نقش گسترده‌ای دارند [۱۱].

از مهم‌ترین ضدغذنی کننده‌ها و گندزداهای شیمیایی که به مقدار زیادی به ویژه در کشاورزی استفاده می‌شود، مشتق‌های فلزهای سنگین با ترکیب‌های گوگردار می‌باشد [۱۲]. از جمله‌ی آن‌ها می‌توان قارچ‌کش‌ها را نام برد در سال ۱۹۴۷ میلادی اولین دی‌تیوکربامات به عنوان قارچ‌کش معروفی شد [۱۳]. دی‌تیوکربامیک اسید به‌حالات آزاد در طبیعت یافت نمی‌شود ولی دی‌تیوکاربامات‌های جانشین شده را می‌توان از واکنش کربن‌دی‌سولفید در محلول‌های قلیایی با آمین‌های آروماتیک و یا آمین‌های آلیاتیک جانشین شده نوع اول یا دوم به‌دست آورد. فرمول کلی این واکنش‌گرها به صورت  $\text{R-NHCSS-Ar}$  است که در آن  $\text{R}$  نماینده بنیان‌های آلی آریل یا آلکیل می‌باشد [۱۴]. آلکیل دی‌تیوکربامات‌ها به طور گستردگی در جلوگیری از رشد قارچ‌ها روی فراورده‌های کشاورزی، سبزی‌ها و میوه‌ها استفاده شده‌اند. فعالیت زیستی این ترکیب‌ها به دلیل

\*E-mail: hmtorshizi@hamoon.ucb.ac.ir

\* عهده‌دار مکاتب

کمپلکس‌ها به صورت قرص KBr و در محدوده  $4000\text{--}400\text{ cm}^{-1}$  توسط دستگاه شیمادزو<sup>(۳)</sup> مدل ۴۶۰ ثبت شد. تجزیه عنصری ترکیب‌ها (کربن، هیدروژن و نیتروژن) در آزمایشگاه پژوهشگاه نفت در تهران انجام شد. طیف‌های  $^1\text{H-NMR}$  توسط دستگاه FT-NMR ۵۰۰ MHz یا Brucker AC-۸۰ مدل موجود در دانشگاه امام حسین (ع) تهران در حلal<sub>d</sub><sup>۶</sup> DMSO-d<sub>6</sub> و استاندارد درونی<sup>۴</sup> TMS ثبت شدند. طیف‌های جذب الکترونی با دستگاه اسپکتروفوتومتر UV-Vis ۷۸۵۰ مدل Jasco ثبت شدند. هدایت الکتریکی مولی کمپلکس‌ها توسط دستگاه هدایت‌سنج WTW F200 در محیط آبی با استفاده از آب دوبار تقطیر انجام شد. نقطه تجزیه کمپلکس‌ها و لیگاندها توسط دستگاه الکتروترمال شماره ۹۱۰۰ اندازه‌گیری شد.

### روش تهیه لیگاندهای دی‌تیوبکرامات

روش تهیه لیگاندهای دی‌تیوبکرامات در مراجع گوناگون آمده است [۱۱، ۱۲]. ولی در این پژوهش از روش تهیه تازه‌ای استفاده شد. برای تهیه لیگاندهای دودنده محلول آبی سدیم هیدروکسید و هر کدام از آمین‌های یادشده در حضور کربن دی‌سولفید با نسبت مولی ۱:۱:۱ با یک‌دیگر وارد واکنش شدند. به علت فرار بودن  $\text{CS}_2$  و گرمایزا بودن، هر یک از واکنش‌ها به مدت ۲ ساعت در حمام آب یخ و سپس با توجه به نوع آمین به کار رفت، بین ۱/۵ تا ۲۲ ساعت در دمای محیط هم زده شد (هر چه طول زنجیر هیدروکربن آمین بلندتر باشد زمان همزدن بیشتری لازم است). به طور کلی رنگ کرم متمایل به زرد نشانه پایان واکنش می‌باشد. پس از پایان واکنش، حلal موجود در محیط با دمای ۴۰ درجه سلسیوس در خلا تبخیر و خشک شد. پودر بدست آمده در ۴۰ mL استن سوسپانسیون و سپس صاف شد. رسوب بدست آمده در کمترین مقدار متابولول حل، صاف و سپس به محلول زیر صافی دی‌کلرومتان افزوده شد تا دوباره رسوب دهد. این رسوب‌ها به کمک بوخر و تحت خلا صاف و برای خشک شدن درون دسیکاتور در خلاء قرار داده شد. لیگاندهای خطی بلندتر (با تعداد کربن ۴ به بالا) شامل هگزیل، اکتیل، و نونیل آمین با کمی تغییر در روش بالا سنتر شدند. در این روش پودر بدست آمده از مرحله سوسپانسیون در استن، صاف شد و به مادرآب درحالی که بهشدت همزده می‌شد ۱۵ میلی‌لیتر اتر نفت افزوده شد. رسوب‌های دلمه مانند سفید که شاید پلیمرند تشکیل، صاف و دور ریخته شد. به محلول زیر صافی که بهشدت هم می‌خورد، ۱۰۰ میلی‌لیتر اتر نفت به آهستگی افزوده و به مدت ۲۴ ساعت ده دقیقه هم زده شد. سپس درب ظرف بسته شد و به مدت ۲۴ ساعت

در ادامه مطالعه ترکیب‌های دی‌تیوبکرامات، در این پژوهه، یک مجموعه هفتتاپی از نمک سدیم لیگاندهای کی‌لیت‌ساز دندانه شامل متیل، اتیل، پروپیل، بوتیل، هگزیل، اکتیل و نونیل دی‌تیوبکرامات و کمپلکس‌های آن‌ها با یون  $\text{Ni}^{2+}$  سنتر شدند. در طراحی نمک سدیم‌آلکیل دی‌تیوبکرامات‌ها، نه تنها طول زنجیر گروه آلکیل دی‌تیوبکرامات متغیر انتخاب شده است بلکه تعداد کربن‌ها زوج و فرد می‌باشد. نکته دارای اهمیت در مورد این هفت ترکیب، محلول بودن آن‌ها در آب است. از ترکیب نسبت‌های مولی ۱:۲ از هر یک از نمک‌های آلکیل دی‌تیوبکرامات با یون نیکل (II)، تعداد هفت کمپلکس نیز تهیه شد. این کمپلکس‌ها به گونه‌ای طراحی شدند که هریک از آن‌ها متقاضی، بدون بار الکتریکی، چیدمان اتم‌های دهنده گوگرد در اطراف یون نیکل مسطح مربع و کمپلکس‌ها شاید محلول در چربی آند (جدول ۱ را بینید). چنین ساختارهایی از اهمیت ویژه برخوردارند. زیرا نمک سدیم‌آلکیل‌های دی‌تیوبکرامات به علت محلول بودن در آب می‌توانند از بخش‌های آبدوست غشای باکتری یا قارچ و کمپلکس‌های محلول در چربی از بخش‌های آب‌گریز غشا عبور و در نتیجه باعث افزایش غلظت این ترکیبها در میکرووارگانیسم‌ها می‌شوند. روشن است که افزایش غلظت منجر به تسريع واکنش آن‌ها با درشت مولکول‌های حیاتی (پروتئین‌ها، آنزیم‌ها،  $\text{DNA}$  و  $\text{RNA}$ ) شده و متابولیسم میکروب را مختلف می‌کند. نکته دارای اهمیت دیگر این که حضور یون نیکل در ساختار کمپلکس‌ها می‌تواند همچون آنزیم‌های دارای عناصر فلزی باعث کاتالیز کردن واکنش‌های ناخواسته در درون میکروب شود [۱۰]. با این تفاوت که در آنزیم‌ها به طور عموم یون فلزی در لفاف پروتئین محفوظ بوده و نیز انتخابی عمل می‌کند در حالی که کمپلکس‌های بالا، لفاف پروتئین نداشته و در نتیجه کمپلکس برهنه قادر است دیوانهوار به درشت مولکول‌های حیاتی داخل میکروب حمله و یا در مرحله‌های گوناگون متابولیسم واکنش‌های ناخواسته‌ای را کاتالیز کرده و زندگی میکروارگانیسم را تحت الشاع قرار دهد.

### بخش تجربی مواد و دستگاه‌ها

مواد مورد استفاده برای سنتز و خالص‌سازی لیگاندهای دی‌تیوبکرامات و کمپلکس‌های نیکل آن‌ها عبارتند از: حلال‌های استن، دی‌کلرومتان، متابولول و اتر نفت، واکنشگرهای متیل، اتیل، پروپیل، بوتیل، هگزیل، اکتیل و نونیل آمین،  $\text{NaOH}$  و نیکل (II) نیترات شش‌آبه. کلیه آن‌ها از شرکت مرک<sup>(۲)</sup> آلمان خریداری شدند. طیف فروسرخ لیگاندها و

(۱) Liposoluble

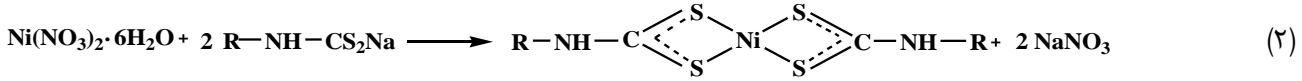
(۳) Shimadzu

(۲) Merck

(۴) Tetramethylsilane



R = متیل، اتیل، پروپیل، بوتیل، هگزیل، اکتیل و نونیل



R = متیل، اتیل، پروپیل، بوتیل، هگزیل، اکتیل و نونیل

$$\lambda(\text{cm}^2 \cdot \text{ohm}^{-1} \cdot \text{mol}^{-1}) = \frac{0.001 \times \text{ثابت سل} \times (\text{هدایت آب مقطر} - \text{هدایت کمپلکس})}{\text{غلاطت کمپلکس}} \quad (3)$$

$\text{Zn}^{2+}$  کوئوردینه شده و تشکیل کمپلکس دهنده [۱۵-۱۶]. در این کار پژوهشی، هفت کمپلکس بدون بار و پایدار از این لیگاندھا با یون نیکل(II) به دست آمد. در این فرایند آلکیل دی‌تیوکربامات‌ها را لیگاند و فراورده واکنش آنها با یون فلز را کمپلکس می‌نماید. شایان توجه است که هم لیگاندھا و هم کمپلکس‌ها دارای کاربردهای کشاورزی و صنعتی می‌باشند. در این مقاله، فقط فضای لازم جهت سنتز و شناسایی این چهارده ترکیب را یافته‌یم و مطالعات کاربردی آنها را به جای دیگری موقول می‌کنیم. در این کار، تهیه لیگاندھای دی‌تیوکربامات با واکنش آمین‌های آلیاتیک خطی با کربن دی‌سولفید در حضور یک باز قوی همچون NaOH صورت گرفت. این واکنش‌ها در محیط مائی انجام شدند که راندمان آنها در جدول ۲ جمع آوری شده است. آنالیز عنصری این لیگاندھا نیز انجام شد و نتیجه آن که در جدول ۲ نشان داده شده است با ساختارهای پیشنهادی (جدول ۱) مطابقت دارد. شناسایی این لیگاندھا به کمک طیف سنجی FT-IR, UV-Vis,  $^1\text{H}$  NMR و  $^{13}\text{C}$  NMR انجام پذیرفت که در ادامه مورد بحث و بررسی قرار می‌گیرد. در تهیه کمپلکس‌ها، مواد اولیه شامل لیگاندھای دی‌تیوکربامات و لیگاندھا به محلول مائی نیکل نیترات شش آبه با نسبت استوکیومتری ۱:۲، بی‌رنگ کمپلکس‌های بدون بار رسوب می‌کردند. خالص‌سازی کمپلکس‌ها با شستن هر یک از آنها با مقدار زیادی آب دوبار تقطیر سرد و استن که کلیه مواد اولیه در ایندو محلولند، انجام شد. شناسایی ابتدایی هر یک از کمپلکس‌ها با آنالیز عنصری و هدایت‌سنجی و سپس روش‌های طیف‌سنجی FT-IR, UV-Vis و  $^1\text{H}$  NMR انجام شد. نتیجه‌های آنالیز عنصری که با ساختار پیشنهادی کمپلکس‌ها (جدول ۱) مطابقت دارد در جدول ۲ گردآوری شده است. همچنین هدایت مولی کلیه کمپلکس‌ها در حلال متنول اندازه‌گیری شد. با جایگزینی این مقادیرها در معادله (۳) هدایت مولی (λ) آنها محاسبه شد [۱۷]. مقادیر به دست آمده در جدول ۲ جمع آوری شده است. این نتیجه‌ها نشان می‌دهد که هدایت مولی این کمپلکس‌ها خیلی کمتر از هدایت مولی الکتروولیت‌های ۱۰۱ (cm<sup>2</sup>/ohm·mol)) (۱۳۱-۱۱۸) می‌باشد که نشان دهنده بی‌بار بودن کمپلکس‌ها است [۱۸].

در یخچال با دمای ۴ درجه سلسیوس قرار داده شد. رسوب به دست آمده که همان فراورده است به صورت بلورهای پولکی شکل و سفیدرنگ تشکیل شد که در اثر نفت سوسپانسیون و صاف شد. راندمان سنتز این لیگاندھا بین ۴۰ تا ۷۱ درصد به دست آمد. یافته‌های نقطه تجزیه و آنالیز عنصری این لیگاندھا در جدول ۲ گردآوری شده است. معادله کلی واکنش به صورت معادله (۱) است.

### روش تهیه کمپلکس‌های دی‌تیوکربامات با یون نیکل (II)

همه کمپلکس‌ها به روش همانند با کمپلکس‌های گزارش شده [۱۴, ۱۳] تهیه شدند. این ترکیب‌ها از واکنش بین محلول آبی هر کدام از لیگاندھا و محلول مائی نیکل(II) نیترات شش آبه با نسبت مولی ۱:۲ از لیگاند به فلز تهیه شد. به این صورت که ۴ میلی‌مول از هر یک از لیگاندھا در آب دوبار تقطیر حل و به ۰/۵۸ گرم (۲ میلی‌مول) از نیکل(II) نیترات شش آبه که در آب دوبار تقطیر حل شده بود، به آرامی افزوده شد. رسوب یشمی رنگی به سرعت تشکیل شد که کمپلکس موردنظر می‌باشد. مخلوط واکنش به مدت ۲ تا ۳ ساعت در دمای اتاق هم‌زدھ شد تا واکنش کامل شود. رسوب به دست آمده پس از صاف شدن و شستشو با آب و استن در دمای ۴۰-۳۵ درجه سلسیوس خشک شد. راندمان سنتز این کمپلکس‌ها بین ۵۱ تا ۸۹ درصد به دست آمد. یافته‌های راندمان سنتز، نقطه تجزیه، هدایت مولی و آنالیز عنصری این کمپلکس‌ها در جدول ۲ گردآوری شده است. معادله کلی واکنش‌ها به صورت معادله (۲) است.

### نتیجه‌ها و بحث

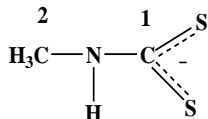
با توجه به ویژگی‌های بسیار و جالب ترکیبات دی‌تیوکربامات و کاربرد آنها در کشاورزی و صنایع، نخست بر آن شدیم یک سری هفت تابی نمک سدیم آلکیل دی‌تیوکربامات به فرمول کلی R-NH-CSSNa که در آنها گروه R هیدروکربن‌های خطی با طول زنجیر یک تا نه کربن می‌باشند، تهیه کنیم. این ترکیب‌ها قادرند از طریق اتم‌های گوگرد موجود در ساختارشان به صورت دودنده به عنصر واسطه به‌ویژه  $\text{Cu}^{2+}$ ,  $\text{Ni}^{2+}$  علمی - پژوهشی

جدول ۱- ساختار پیشنهادی نمک سدیم لیگاندهای دی‌تیوکربامات (I-VII) و کمپلکس‌های نیکل (II) مربوط به هر یک از این لیگاندها (VIII-XIV). انواع گوناگون پروتون‌ها در هر ترکیب با حروف a, b, c, d, e مشخص شده‌اند. این نشانه‌ها برای ارتباط انواع پروتون‌ها با سیگنال‌ها در طیف  $^1\text{H}$  NMR هر ترکیب می‌باشند.

نام ترکیب	ساختار
methyldithiocarbamato sodium salt (Me-dtcNa) (I)	
ethyldithiocarbamato sodium salt (Et-dtcNa) (II)	
n-propyldithiocarbamato sodium salt (n-Pro-dtcNa) (III)	
n-butyldithiocarbamato sodium salt (n-Bu-dtcNa) (IV)	
n-hexyldithiocarbamato sodium salt (n-Hex-dtcNa) (V)	
n-octyldithiocarbamato sodium salt (n-Oct-dtcNa) (VI)	
n-nonyldithiocarbamato sodium salt (n-Non-dtcNa) (VII)	
bis(methyldithiocarbamato)nickel(II) [Ni(Me-dtc) <sub>2</sub> ] (VIII)	
bis(ethyldithiocarbamato)nickel(II) [Ni(Et-dtc) <sub>2</sub> ] (IX)	
bis(n-propyldithiocarbamato)nickel(II) [Ni(n-Pro-dtc) <sub>2</sub> ] (X)	
bis(n-butyldithiocarbamato)nickel(II) [Ni(n-Bu-dtc) <sub>2</sub> ] (XI)	
bis(n-hexyldithiocarbamato)nickel(II) [Ni(n-Hex-dtc) <sub>2</sub> ] (XII)	
bis(n-octyldithiocarbamato)nickel(II) [Ni(n-Oct-dtc) <sub>2</sub> ] (XIII)	
bis(n-nonyldithiocarbamato)nickel(II) [Ni(n-Non-dtc) <sub>2</sub> ] (XIV)	

جدول ۲- یافته‌های مربوط به نقطه تجزیه، آنالیز عنصری، هدایت مولی و راندمان ترکیب‌های مورد مطالعه

لیگاند کمپلکس	نقطه تجزیه (°C)	تجزیه عنصری تئوری (تجربی)			حالیت در آب (g/mL)	هدایت مولی (cm <sup>2</sup> .ohm <sup>-1</sup> .mol <sup>-1</sup> )	راندمان %
		H%	C%	N%			
Me-dtcNa [Ni(Me-dtc) <sub>2</sub> ]	۹۰	(۳/۱۲) ۳/۱۰	(۱۸/۶۲) ۱۸/۶۰	(۱۰/۸۳) ۱۰/۸۵	۰/۴۱۴	-	۶۰
	۱۹۰-۱۹۲	(۲/۹۹) ۲/۹۶	(۱۷/۷۴) ۱۷/۷۷	(۱۰/۳۹) ۱۰/۳۷	۰/۰۲۱	۸	۸۹
Et-dtcNa [Ni(Et-dtc) <sub>2</sub> ]	۱۰۵	(۴/۱۹) ۴/۲۰	(۲۵/۱۶) ۲۵/۱۷	(۹/۷۵) ۹/۷۹	۰/۳۹۴	-	۴۵
	۱۶۶-۱۶۸	(۴/۰۳) ۴/۰۲	(۲۴/۱۳) ۲۴/۱۶	(۹/۴۱) ۹/۳۹	۰/۰۱۹	۱۰	۶۶
n-Pro-dtcNa [Ni(n-Pro-dtc) <sub>2</sub> ]	۸۹	(۵/۱۲) ۵/۰۹	(۳۰/۵۳) ۳۰/۵۷	(۸/۹۲) ۸/۹۱	۰/۳۱۵	-	۴۲
	۱۵۰-۱۵۲	(۴/۸۷) ۴/۹۰	(۲۹/۴۰) ۲۹/۴۴	(۸/۵۵) ۸/۵۸	۰/۰۱۳	۸	۶۴
n-Bu-dtcNa [Ni(n-Bu-dtc) <sub>2</sub> ]	۹۸	(۵/۸۸) ۵/۹۰	(۳۵/۰۳) ۳۵/۰۸	(۸/۱۴) ۸/۱۸	۰/۲۶۳	-	۵۱
	۱۵۲-۱۵۴	(۵/۶۱) ۵/۶۴	(۳۳/۸۵) ۳۳/۸۹	(۷/۹۳) ۷/۹۰	۰/۰۱۰	۹	۵۶
n-Hex-dtcNa [Ni(n-Hex-dtc) <sub>2</sub> ]	۱۷۰	(۷/۰۶) ۷/۰۳	(۴۲/۲۷) ۴۲/۲۱	(۷/۰۱) ۷/۰۳	۰/۱۶۴	-	۷۱
	۱۰۸-۱۱۰	(۶/۷۸) ۶/۸۲	(۴۰/۹۶) ۴۰/۹۷	(۶/۸۶) ۶/۸۲	۰/۰۰۶	۱۵	۵۹
n-Oct-dtcNa [Ni(n-Oct-dtc) <sub>2</sub> ]	۱۲۰	(۷/۸۸) ۷/۹۲	(۵۲/۸۵) ۵۲/۸۶	(۶/۱۴) ۶/۱۶	۰/۱۲۰	-	۶۲
	۱۱۶-۱۱۸	(۷/۷۱) ۷/۷۲	(۴۶/۳۷) ۴۶/۳۵	(۶/۰۶) ۶/۰۱	۰/۰۰۳	۱۱	۴۱
n-Non-dtcNa [Ni(n-Non-dtc) <sub>2</sub> ]	۸۹	(۸/۲۸) ۸/۳۰	(۴۹/۷۵) ۴۹/۷۹	(۵/۸۳) ۵/۸۱	۰/۰۸۱	-	۴۴
	۱۱۰-۱۱۲	(۸/۰۴) ۸/۰۱	(۴۸/۶۱) ۴۸/۵۸	(۵/۶۴) ۵/۶۷	۰/۰۰۱	۱۳	۶۰



شکل ۱- نمایش پیوندها در گروه‌های عاملی لیگاند متیل دی‌تیوکربامات به عنوان یک نمونه از لیگاندهای سنتز شده.

ازاد بین  $10 \text{ تا } 45 \text{ cm}^{-1}$  افزایش یافته است که نشان دهنده افزایش مرتبه پیوند  $\text{N}-\text{C}_1-\text{C}_1-\text{N}$  بعد از کوئوردینه شدن لیگاند توسط اتم‌های گوگرد به مرکز فلز می‌باشد. بنابراین پیوند  $\text{N}-\text{C}_1-\text{C}_1-\text{N}$  در کمپلکس‌ها نسبت به لیگاندهای آزاد قدری خصلت دوگانه دارد. دلیل این افزایش را می‌توان بدین صورت دانست که با کوئوردینه شدن اتم‌های گوگرد به یون نیکل، زوج الکترون غیرپیوندی این اتم‌ها آزادی حرکت در اوربیتال‌های نیکل را پیدا کرده در نتیجه در گروه  $\text{CSS}-\text{CSS}$  تخلیه الکترونی ایجاد شده و باعث می‌شود زوج غیرپیوندی روی نیتروژن به پیوند  $\text{C}_1-\text{N}$  متمایل شده، مرتبه این پیوند افزایش یافته و با فرکانس پیشری کشش نماید [۱۹]. مطابق گزارش‌ها [۱۵، ۱۶] اگر یک نوار پرشدت و تیز در حدود  $1000 \text{ cm}^{-1}$  دیده شود، نشان دهنده کوئوردینه شدن گروه  $\text{CSS}^-$  به صورت متقاض از طریق گوگردها به مرکز فلز  $(\text{Ni}^{2+})$  می‌باشد. در طیف FT-IR همه کمپلکس‌های سنتز شده این نوار در همین بازه دیده شد.

هدایت مولی سیار پایین کمپلکس‌ها، ما را بر آن داشت تا انحلال پذیری آن‌ها را در آب مقطر بر حسب (g/mL) اندازه‌گیری کنیم. نتیجه‌های به دست آمده در جدول ۲ گردآوری شده‌اند. دلیل کم محلول بودن کمپلکس‌ها: (الف) خشی بودن آن‌ها و (ب) وجود زنجیره‌های هیدروکربنی در ساختار هر یک از کمپلکس‌ها می‌باشد. نکته شایان توجه این است که مطابق یافته‌های جدول ۲، با افزایش طول زنجیر هیدروکربنی (ساختارها را در جدول ۱ ببینید)، حالیت کمپلکس‌ها در آب کاهش می‌یابد. زیرا زنجیره‌های هیدروکربنی آب گریزند. افزوده می‌شود که ترکیب‌های از این دسته، نه تنها در حللاهای آبی محلول بوده، بلکه به دلیل آب گریز بودن، عبور آن‌ها از بخش آب گریز غشای سلول‌ها (فسفولیپیدی) امکان‌پذیر است.

**شناسایی لیگاندها و کمپلکس‌ها به کمک روش‌های طیف‌سنجدی** در این قسمت شناسایی لیگاندها و کمپلکس‌ها به کمک روش‌های طیف‌سنجدی  $^1\text{H}$  NMR، UV-Vis، FT-IR،  $^1\text{H}$  NMR و غیرطیف‌سنجدی تجزیه عنصری (CHN)، هدایت‌سنجدی و نقطه تجزیه به تفصیل ارایه می‌شوند.

#### طیف‌های فروسرخ (FT-IR)

طیف‌های فروسرخ لیگاندها و کمپلکس‌های مربوط به هر لیگاند در محیط KBr ثبت شدند. کلیه طیف‌ها در پیوست نشان داده شده‌اند. فرکانس کششی گروه‌های شاخص در ترکیب‌های دی‌تیوکربامات که در منابع بر روی آن‌ها تمرکز شده است [۱۶، ۱۷]، عبارتند از  $\nu(\text{C}=\text{S})$

جدول ۳- فرکانس‌های کشنشی گروههای عاملی مهم در نمک سدیم لیگاندهای دی‌تیوکربامات و کمپلکس‌های  $\text{Ni}^{2+}$  آن‌ها (بر حسب  $\text{cm}^{-1}$ )

لیگاند کمپلکس	$\nu(\text{C}_1-\text{N})$	$\nu(\text{C}_2-\text{N})$	$\nu(\text{C}=\text{S})_{\text{as}}$	$\nu(\text{C}=\text{S})_{\text{s}}$	$\nu(\text{N}-\text{H})$
Me-dtcNa [Ni(Me-dtc) <sub>2</sub> ]	۱۵۳۰	۱۱۶۳	۹۵۳	۶۰۳	۳۳۷۹
	۱۵۵۵	۱۱۵۶	۹۵۰	۶۲۰	۳۲۰۹
Et-dtcNa [Ni(Et-dtc) <sub>2</sub> ]	۱۵۲۴	۱۱۶۲	۹۵۴	۵۹۹	۳۳۹۱
	۱۵۳۴	۱۱۵۸	۹۶۱	۶۱۹	۳۲۰۱
n-Pro-dtcNa [Ni(n-Pro-dtc) <sub>2</sub> ]	۱۵۰۹	۱۱۵۸	۹۴۸	۶۰۹	۳۴۱۳
	۱۵۳۶	۱۱۵۷	۹۶۲	۶۴۵	۳۲۳۹
n-Bu-dtcNa [Ni(n-Bu-dtc) <sub>2</sub> ]	۱۵۰۸	۱۱۵۳	۹۲۰	۶۱۱	۳۴۲۰
	۱۵۳۹	۱۱۵۹	۹۲۵	۶۳۴	۳۲۲۷
n-Hex-dtcNa [Ni(n-Hex-dtc) <sub>2</sub> ]	۱۵۰۸	۱۰۵۰	۹۴۶	۶۰۸	۳۴۲۱
	۱۵۲۶	۱۱۵۲	۹۴۴	۶۵۸	۳۲۴۲
n-Oct-dtcNa [Ni(n-Oct-dtc) <sub>2</sub> ]	۱۵۰۰	۱۱۳۴	۹۴۱	۶۶۲	۳۴۱۴
	۱۵۴۵	۱۱۵۳	۹۵۴	۷۱۹	۳۱۸۶
n-Non-dtcNa [Ni(n-Non-dtc) <sub>2</sub> ]	۱۵۰۸	۱۱۳۷	۹۴۳	۶۰۹	۳۴۲۰
	۱۵۴۷	۱۱۵۵	۹۴۸	۶۵۹	۳۱۸۶

آزاد و کمپلکس‌های مربوطه زیاد نیست که این مسئله می‌تواند به دلیل دور بودن این پیوند از مرکز کوئوردیناسیون باشد.

#### طیف‌های جذب الکترونی (UV-Vis)

تفسیر طیف‌های الکترونی کمپلکس‌های دی‌تیوکربامات بسیار پیچیده است. زیرا امکان همپوشانی نوارها در ناحیه مرئی و ناحیه فرابنفس زیاد بوده و این مشکل عمومی و عمده در تفسیر طیف UV-Vis این کمپلکس‌ها است. البته در تعداد زیادی از منابع، کمپلکس‌های نیکل (II) با آرایش  $d^8$  دارای ساختار مسطح مریع با تقارن  $D_{4h}$  می‌باشند [۱۴، ۱۵]. نظر به این که در کمپلکس‌های گزارش شده در این پژوهش، هر دو لیگاند کوئوردینه شده به مرکز  $\text{Ni}^{2+}$  یکسانند بنابراین کمپلکس‌ها متقابل بوده و این مسئله تمایل این ترکیب‌ها را به اخذ شکل هندسی مریع مسطح افزایش می‌دهد [۲۱]. در این کمپلکس‌ها انتقال‌های  $d \rightarrow d$  از نظر قاعده انتخاب لاپورت<sup>۱</sup> منوع هستند ولی از نظر اسپین مجاز بوده و به طور معمول در ناحیه مرئی ظاهر می‌شوند. این انتقال‌ها به طور عمده  $\text{B}_{1g} \rightarrow \text{A}_{1g}$  یا  $\text{B}_{1g} \rightarrow \text{B}_{2g}$  یا  $\text{B}_{1g} \rightarrow \text{B}_{1g}$  (۱۷۵۰۰-۲۳۱۰۰  $\text{cm}^{-1}$ ) و  $\text{dx}^2-y^2 \rightarrow \text{dx}^2-y^2$  یا  $\text{B}_{2g} \rightarrow \text{B}_{2g}$  (۱۶۸۰۰-۱۲۰۰۰  $\text{cm}^{-1}$ ) می‌باشند [۱۷]. طیف‌های جذب الکترونی کمپلکس‌های دی‌تیوکربامات نیکل (II) با غلظت  $2/5 \times 10^{-5}$  مولار در حلال متنالو و طیف‌های نمک سدیم لیگاندهای دی‌تیوکربامات با غلظت  $2/5 \times 10^{-5}$  مولار در محیط مائی ثبت شدند. یافته‌های مربوط به این طیف‌ها در جدول ۴ جمع آوری شده‌اند. طیف‌های UV-Vis

همچنین مطابق گزارش‌ها [۱۶، ۲۰] اگر نوک این نوار شکافته نشده باشد، نشان‌دهنده این است که لیگاند به صورت دودنده کوئوردینه شده ولی اگر شکافته شده باشد (تا حدود  $20 \text{ cm}^{-1}$  نشان‌دهنده یک دندانه کوئوردینه شدن گروه  $\text{C}=\text{S}^-$  است. همان‌گونه که در طیف‌های IR (پیوست) دیده می‌شود این نوار در کمپلکس‌ها شکافته نشده که تأییدی بر دودنده کوئوردینه شدن گروه  $\text{C}=\text{S}^-$  می‌باشد. فرکانس کشنشی گروه  $\text{N}-\text{H}$  در کمپلکس‌ها کمتر از لیگاند آزاد دیده شد. دلیل آن همان‌گونه که در بالا توضیح داده شد، متمایل شدن زوج الکترون غیرپیوندی روی نیتروژن به پیوند  $\text{N}-\text{C}_1$  است که در نتیجه آن پیوند  $\text{N}-\text{H}$  از تراکم الکترونی کمتری برخوردار بوده و بنابراین با فرکانس کمتری کشش می‌نماید.

اگر فرکانس کشنشی متقابران و غیرمتقابران گروههای  $\text{C}=\text{S}$  را در جدول ۳ مدنظر قرار دهیم، می‌بینیم که فرکانس کشنشی این دو گروه به ترتیب  $17 \text{ cm}^{-1}$  تا  $60 \text{ cm}^{-1}$  و صفر تا  $15 \text{ cm}^{-1}$  در کمپلکس‌ها نسبت به لیگاند آزاد بیشتر می‌باشد. این مشاهده را می‌توان بدین صورت توضیح داد که در لیگاند آزاد امکان کشش متقابران و غیرمتقابران نسبت به کمپلکس بیشتر است ولی پس از کوئوردینه شدن گروه  $\text{C}=\text{S}^-$  از طریق هر دو گوگرد به مرکز نیکل، امکان کشش متقابران به شدت بر امکان کشش نامتقابران غالب است. بنابراین، همان‌گونه که در جدول ۳ دیده می‌شود، اختلاف عددی موجی در  $\nu(\text{C}=\text{S})_{\text{as}}$  نسبت به  $\nu(\text{C}=\text{S})_{\text{s}}$  دیگر بیشتر است [۲۲]. اختلاف فرکانس کشنشی  $\text{C}_2-\text{N}$  در لیگاندهای خیلی بیشتر است [۲۲].

(۱) Laport selection rule

جدول ۴- یافته‌های مربوط به طیف‌های UV-Vis نمک سدیم لیگاندهای دی‌تیوکربامات و کمپلکس‌های  $\text{Ni}^{2+}$  آن‌ها

لیگاند کمپلکس	Band I ( $n \rightarrow \pi^*$ )		Band II ( $\pi \rightarrow \pi^*$ )		Band III (CT)	
	$\lambda$ (nm)	$\log \epsilon$	$\lambda$ (nm)	$\log \epsilon$	$\lambda$ (nm)	$\log \epsilon$
Me-dtcNa [Ni(Me-dtc) <sub>2</sub> ]	۲۸۱/۴	۴/۳۹	۲۴۹	۴/۳۱	-	-
	۳۲۲	۴/۵۵	۲۳۳	۴/۵۱	۳۸۳	۳/۸۳
Et-dtcNa [Ni(Et-dtc) <sub>2</sub> ]	۲۸۲/۶	۴/۵۷	۲۵۱	۴/۵۶	-	-
	۳۲۲	۴/۶۱	۲۲۸	۴/۵۶	۳۷۷	۳/۹۹
n-Pro-dtcNa [Ni(n-Pro-dtc) <sub>2</sub> ]	۲۸۲/۲	۴/۵۹	۲۵۳	۴/۵۲	-	-
	۳۲۲	۴/۷۳	۲۳۱	۴/۷۰	۳۸۳	۴/۰۴
n-Bu-dtcNa [Ni(n-Bu-dtc) <sub>2</sub> ]	۲۸۳	۴/۴۲	۲۵۴	۴/۴۰	-	-
	۳۳۳	۴/۶۱	۲۳۴	۴/۵۹	۳۸۲	۴/۰۹
n-Hex-dtcNa [Ni(n-Hex-dtc) <sub>2</sub> ]	۲۸۲	۴/۶۰	۲۵۳	۴/۵۳	-	-
	۳۲۷	۴/۵۲	۲۳۳	۴/۴۶	۳۷۸	۳/۹۴
n-Oct-dtcNa [Ni(n-Oct-dtc) <sub>2</sub> ]	۲۸۲/۴	۴/۵۸	۲۵۲	۴/۵۷	-	-
	۳۲۲	۴/۵۱	۲۳۱	۴/۴۷	۳۸۵	۳/۹۹
n-Non-dtcNa [Ni(n-Non-dtc) <sub>2</sub> ]	۲۸۲/۱	۴/۶۰	۲۵۳	۴/۵۳	-	-
	۳۲۷	۴/۶۵	۲۳۲	۴/۶۳	۳۸۰	۴/۰۵

مربوطه نسبت به لیگاندآزاد به طرف میدان ضعیفتر جابجایی شیمیایی نشان می‌دهند. این جابجایی بیانگر کوئوردیناسیون لیگاندهای دی‌تیوکربامات به  $\text{Ni}^{2+}$  می‌باشد. در همه طیف‌ها سطح زیر سیگنال‌ها با تعداد پروتون‌های مربوطه در ساختار پیشنهادی مطابقت داشته و بر اساس این طیف‌ها، در ترکیب‌های سنتز شده ناخالصی که نسبت به  ${}^1\text{H NMR}$  فعال باشد وجود ندارد. قابل توجه است که موقعیت رزونانس پروتون‌های گروه  $-\text{NH}-$  در همه کمپلکس‌ها نسبت به لیگاندآزاد به مقدار زیاد (بین ۲/۲۴ ppm تا ۲/۵۶ ppm) به سوی میدان ضعیف جابجایی شیمیایی نشان می‌دهند. این مسئله نه تنها کوئوردینه شدن لیگاندها را به فلز مرکزی پشتیبانی می‌کند بلکه با مقایسه طیف‌های IR کمپلکس‌ها و لیگاندها در خصوص مرتبه پیوند  $\text{C}_1-\text{N}-\text{C}_2$  همسو می‌باشد. یافته‌های مربوط به موقعیت سیگنال‌ها در طیف  ${}^1\text{H NMR}$  لیگاندها و کمپلکس‌های سنتز شده به همراه مقدارهای ثابت کوپلر (J) در جدول ۵ جمع آوری شده‌اند. این یافته‌ها در واقع موقعیت جابجایی‌های شیمیایی مربوط به سیگنال‌های انواع پروتون‌ها با توجه به جدول ۱ می‌باشند. به عنوان نمونه طیف  ${}^1\text{H NMR}$  لیگاند  $[{\text{Ni}(\text{n-Hex-dtcNa})_2}]$  در شکل ۲ نشان داده شده‌است. طیف‌های  ${}^1\text{H NMR}$  سایر لیگاندها و کمپلکس‌ها به پیوست انتقال یافته‌اند. شایان توجه است که وجود سیگنال‌های تیز در طیف‌های  ${}^1\text{H NMR}$ ، مؤید ساختار مربع مسطح برای کمپلکس‌های گزارش شده در این مطالعه است. زیرا در این ساختار، یون فلز مرکزی  $d^8$  و کمپلکس دیامغناطیس است. در صورتی که اگر کمپلکس هشت‌وجهی و یا چهار‌وجهی باشد پارامغناطیس بوده و انتظار می‌رود سیگنال‌های  ${}^1\text{H NMR}$  پهن باشند.

لیگاندها و کمپلکس‌ها به پیوست (اطلاعات تکمیلی) انتقال یافته‌اند همان‌گونه که در جدول ۴ دیده می‌شود. لیگاندهای دی‌تیوکربامات به دلیل داشتن کروموفور NCSS-، در ناحیه فرابخش دارای انتقال‌های الکترونی باشد بالا می‌باشند. در طیف UV-Vis لیگاندهای سنتز شده مطابق جدول ۴ دو نوار جذبی وجود دارد. نوار شماره I به انتقال  $\pi \rightarrow \pi^*$  و نوار شماره II به انتقال  $\pi \rightarrow \pi^*$  وجود ندارد. نوار شماره I به انتقال  $\pi \rightarrow n$  و نوار شماره II به انتقال  $n \rightarrow \pi^*$  نسبت داده می‌شوند [۲۲]. طیف‌های UV-Vis هفت کمپلکس گروه NCSS- نسبت داده می‌شوند [۲۲]. نوار شماره UV-Vis هفت کمپلکس سنتز شده به تقریب همانند یکدیگر هستند. نوار I در طیف این کمپلکس‌ها، به انتقال‌های  $\pi \rightarrow n$  فلز نسبت داده می‌شود. این نوار می‌تواند به دلیل انتقال جفت الکترون‌های غیربیوندی روی اتم گوگرد به یک اوربیتال  $\pi$  باشد. نوارهای II به انتقالات  $\pi \rightarrow \pi^*$  گروه S-S نسبت داده می‌شود [۲۳]. این نوار شکافته نشده و عدم شکافتگی آن، برابر بودن دو پیوند C-S در کمپلکس‌ها را نشان می‌دهد. نوار III در طیف کمپلکس‌ها را می‌توان به انتقال‌های بار (CT) نسبت داد (جدول ۴ را ببینید). شایان ذکر است که به دلیل همپوشانی نوارهای  $\pi \rightarrow \pi^*$  مربوط به لیگاندهای دی‌تیوکربامات، نوارهای d اسپین مجاز مربوط به Ni(II) و نوارهای انتقال بار احتمالی، نمی‌توان با قاطعیت آن‌ها را تفکیک و تفسیر نمود [۲۴].

#### طیف‌های رزونانس مغناطیسی هسته ( ${}^1\text{H NMR}$ )

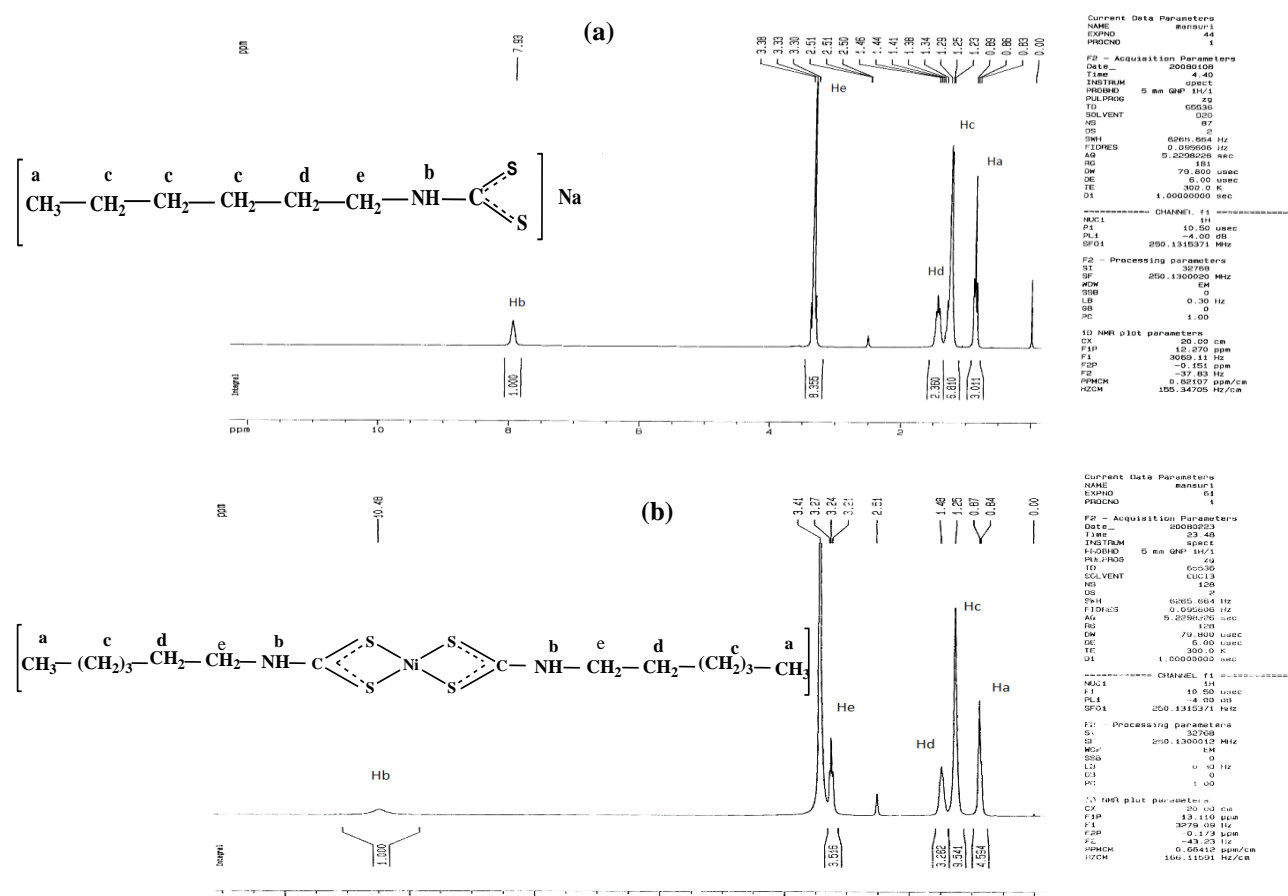
طیف‌های  ${}^1\text{H NMR}$  هفت لیگاند سنتز شده و کمپلکس‌های نیکل آن‌ها در حلال DMSO-d<sub>6</sub> ثبت شد. سیگنال مربوط به حلال دوتره نشده در ۲/۵ ppm تا ۳/۲۴ ppm و سیگنال مربوط به آب موجود در محیط در ۲/۴ ppm تا ۳/۴ ppm ظاهر شده‌اند در طیف‌های ثبت شده دیده شد که پروتون‌ها در کمپلکس‌های

جدول ۵- یافته‌های مربوط به طیف‌های  $^1\text{H}$  NMR نمک سدیم لیگاند‌های دی‌تیوبکرامات و کمپلکس‌های  $\text{Ni}^{2+}$  آن‌ها

لیگاند کمپلکس	H <sub>a</sub>	H <sub>b</sub>	H <sub>c</sub>	H <sub>d</sub>	H <sub>e</sub>
Me-dtcNa [Ni(Me-dtc) <sub>2</sub> ]	γ/λ*(d)*, ( $^3J_{\text{H-H}} = 5$ )**	λ/λ(b)	-	-	-
	γ/λ(s), ( $^3J_{\text{H-H}} = 5/5$ )	10/39(b)	-	-	-
Et-dtcNa [Ni(Et-dtc) <sub>2</sub> ]	1/..(t), ( $^3J_{\text{H-H}} = 7/25$ )	λ/..(b)	γ/37(m), ( $^3J_{\text{H-H}} = 6/2$ )	-	-
	1/..λ(t), ( $^3J_{\text{H-H}} = 7/5$ )	10/48(b)	γ/27(q), ( $^3J_{\text{H-H}} = 7/5$ )	-	-
n-Pro-dtcNa [Ni(n-Pro-dtc) <sub>2</sub> ]	·/λ(t), ( $^3J_{\text{H-H}} = 7/5$ )	λ/..(b)	1/46(m), ( $^3J_{\text{H-H}} = 7/25$ )	γ/31(m), ( $^3J_{\text{H-H}} = 6/25$ )	-
	·/λΔ(t), ( $^3J_{\text{H-H}} = 7/5$ )	10/48(b)	1/5(m), ( $^3J_{\text{H-H}} = 7/5$ )	γ/21(t), ( $^3J_{\text{H-H}} = 7/5$ )	-
n-Bu-dtcNa [Ni(n-Bu-dtc) <sub>2</sub> ]	·/λ(t), ( $^3J_{\text{H-H}} = 6/7$ )	λ/..(b)	1/21(m), ( $^3J_{\text{H-H}} = 7/2$ )	1/39(m), ( $^3J_{\text{H-H}} = 7/2$ )	γ/31(m), ( $^3J_{\text{H-H}} = 7/0$ )
	·/λγ(t), ( $^3J_{\text{H-H}} = 7/25$ )	10/48(b)	1/27(m), ( $^3J_{\text{H-H}} = 7/25$ )	1/46(m), ( $^3J_{\text{H-H}} = 7/5$ )	γ/25(t), ( $^3J_{\text{H-H}} = 7/5$ )
n-Hex-dtcNa [Ni(n-Hex-dtc) <sub>2</sub> ]	·/λγ(t), ( $^3J_{\text{H-H}} = 7/5$ )	γ/93(b)	1/24(m), ( $^3J_{\text{H-H}} = 8/5$ )	1/40(m), ( $^3J_{\text{H-H}} = 7/5$ )	γ/23(m), ( $^3J_{\text{H-H}} = 8/5$ )
	·/λΔ(t), ( $^3J_{\text{H-H}} = 7/5$ )	10/48(b)	1/25(m), ( $^3J_{\text{H-H}} = 7/5$ )	1/48(m), ( $^3J_{\text{H-H}} = 8/0$ )	γ/24(t), ( $^3J_{\text{H-H}} = 7/5$ )
n-Oct-dtcNa [Ni(n-Oct-dtc) <sub>2</sub> ]	·/λγ(t), ( $^3J_{\text{H-H}} = 7/2$ )	γ/98(b)	1/2(m), ( $^3J_{\text{H-H}} = 7/0$ )	1/4(m), ( $^3J_{\text{H-H}} = 7/0$ )	γ/31(m), ( $^3J_{\text{H-H}} = 7/2$ )
	·/λΔ(t), ( $^3J_{\text{H-H}} = 7/5$ )	10/46(b)	1/25(m), ( $^3J_{\text{H-H}} = 7/0$ )	1/48(m), ( $^3J_{\text{H-H}} = 7/2$ )	γ/23(t), ( $^3J_{\text{H-H}} = 7/2$ )
n-Non-dtcNa [Ni(n-Non-dtc) <sub>2</sub> ]	·/λγ(t), ( $^3J_{\text{H-H}} = 7/0$ )	γ/95(b)	1/24(m), ( $^3J_{\text{H-H}} = 7/25$ )	1/46(m), ( $^3J_{\text{H-H}} = 7/5$ )	γ/34(m), ( $^3J_{\text{H-H}} = 7/0$ )
	·/λΔ(t), ( $^3J_{\text{H-H}} = 7/2$ )	10/46(b)	1/25(m), ( $^3J_{\text{H-H}} = 6/5$ )	1/48(m), ( $^3J_{\text{H-H}} = 7/0$ )	γ/23(t), ( $^3J_{\text{H-H}} = 7/5$ )

\* جابه‌جایی شیمیایی بر حسب ppm و ثابت کوپلاز برحسب هرتز گزارش شده است.

\*\* حروف b به ترتیب مشخص کننده سیگنال‌های یکتایی، دوتایی، سه‌تایی، چهارتایی، چندتایی و سیگنال نسبتاً پهن می‌باشند.

شکل ۲- طیف  $^1\text{H}$  NMR لیگاند (a)  $[\text{Ni}(\text{n-Hex-dtc})_2]\text{Na}$  و کمپلکس (b)  $[\text{Ni}(\text{n-Hex-dtc})_2]$

کمپلکس شدن، کلیه لیگاندها به صورت دودنده به  $\text{Ni}^{2+}$  کوئوردینه و هندسه اطراف یون نیکل مربعی می‌باشد. مطالعه چهارده ترکیب یادشده به عنوان قارچ‌کش در کشاورزی در دست اقدام است.

### قدرتانی

نویسنده‌گان این مقاله از دانشگاه سیستان و بلوچستان به‌خاطر پشتیبانی مالی، مساعدت و همکاری‌های لازم سپاسگزاری می‌کنند.

تاریخ دریافت: ۱۳۹۸/۰۷/۱۳؛ تاریخ پذیرش: ۱۳۹۸/۰۹/۱۱

### نتیجه‌گیری

با توجه به کاربرد گسترده ترکیب‌های دی‌تیوکربامات در کشاورزی و صنایع، تعداد هفت مشتق از نمک آلکیل دی‌تیوکربامات که در آن‌ها گروه آلکیل دارای ۱ تا ۹ کربن می‌باشند، تهیه و به روش‌های طیفسنجی و غیرطیفسنجی شناسایی شدند. این ترکیب‌ها قادرند به عنوان لیگاند عمل کرده و از طریق اتم‌های گوگرد موجود در ساختارشان به عناصر فلزی کوئوردینه شده و کمپلکس تشکیل دهند. بنابراین هفت لیگاند بالا با  $\text{Ni}^{2+}$  به نسبت ۱:۲ ترکیب و هفت کمپلکس تازه تهیه شد. این کمپلکس‌ها نیز به روش‌های طیفسنجی و غیرطیفسنجی شناسایی شدند. در فرایند

### مراجع

- [۱] رخشانی، احسان؛ "اصول سم‌شناسی کشاورزی (آفت‌کش‌ها)"، انتشارات فرهنگ جامع (۱۳۸۱).
- [۲] ثابی، غلامحسین؛ "آفت‌کش‌ها و کاربرد آن‌ها"، جلد دوم، انتشارات دانشگاه تهران (۱۳۵۴).
- [۳] Sanchez-Cortes, S., Vasina, M., Francioso, O., Garcia-Ramos, J.V., **Raman and Surface Enhanced Raman Spectroscopy of Dithiocarbamate Fungicides**, *Vibrational Spectroscopy*, **17**,(2), 133–144 (1998).
- [۴] آهونمنش، علی؛ "اصول مبارزه با بیماری‌های گیاهی"، جلد دوم، انتشارات دانشگاه صنعتی اصفهان (۱۳۸۱).
- [۵] Brooks, G.F., Carroll, K.C., Butel, J.S., Morse, S.A., "The Growth, Survival, & Death of Microorganisms", Jawetz, Melnick, & Adelberg's Medical Microbiology. 24th ed. Mc Graw Hill, New York, 52–61 (2007).
- [۶] Coldwell, M.R., Pengelly, I., Rimmer, D.A., **Determination of Dithiocarbamate Pesticides in Occupational Hygiene Sampling Devices Using the Isooctane Method and Comparison with an Automatic Thermal Desorption (ATD) Method**, *Journal of Chromatography A*, **984**(1) 81–88 (2003).
- [۷] Shaheen, F., Badshah, A., Gielen, M., Dusek, M., Fejfarova, K., de Vos, D., Mirza, B., **Synthesis, Characterization, Antibacterial and Cytotoxic Activity of New Palladium (II) Complexes with Dithiocarbamate Ligands: X-Ray Structure of Bis (Dibenzyl-1-S: S'-Dithiocarbamato) Pd (II)**, *Journal of Organometallic Chemistry*, **692**(14), 3019–3026 (2007).
- [۸] Lin, M.S., Jan, B.I., Leu, H.-J., Lin, J.S., **Trace Measurement of Dithiocarbamate Based Pesticide by Adsorptive Stripping Voltammetry**, *Analytica Chimica Acta*, **388**(1–2), 111–117 (1999).
- [۹] Malik, A.K., Faubel, W., **Capillary Electrophoretic Determination of Zinc Dimethyldithiocarbamate (Ziram) and Zinc Ethylenebisdithiocarbamate (Zineb)**, *Talanta*, **52**(2), 341–346 (2000).
- [۱۰] احمدی اسب چین، سلمان؛ مقایسه مطالعه سیتوتیکی و همدماهی جذب زیستی نیکل به وسیله باکتری و جلبک‌های قرمز و قهوه‌ای، نشریه شیمی و مهندسی شیمی ایران، **۳۴**(۳): ۴۱ (۱۳۹۴).

- [11] Finberg, R.W., Moellering, R.C., Tally, F.P., Craig, W.A., Pankey, G.A., Dellinger, E.P., West, M.A., Joshi, M., Linden, P.K., Rolston, K.V., Rotschafer, J.C., Rybak, M.J., "The Importance of Bactericidal Drugs: Future Directions in Infectious Disease", *Clinical Infectious Diseases*, **39**(9), 1314–1320 (2004).
- [12] Park, H.-J., Kim, J.Y., Kim, J., Lee, J.-H., Hahn, J.-S., Gu, M.B., Yoon, J., Silver-Ion-Mediated Reactive Oxygen Species Generation Affecting Bactericidal Activity, *Water Research*, **43**(4), 1027–1032 (2009).
- [13] Baysal, Z., Cinar, E., Bulut, Y., Alkan, H., Dogru, M., Equilibrium and Thermodynamic Studies on Biosorption of Pb (II) Onto Candida Albicans Biomass, *Journal of Hazardous Materials*, **161**(1), 62–67 (2009).
- [14] Gheibi, N., Saboury, A.A., Mansuri-Torshizi, H., Haghbeen, K., Moosavi-Movahedi, A.A., The Inhibition Effect of Some N-Alkyl Dithiocarbamates on Mushroom Tyrosinase, *Journal of Enzyme Inhibition and Medicinal Chemistry*, **20**(4), 393–399 (2005).
- [15] Onwudiwe, D.C., Ajibade, P.A., Synthesis, Characterization and Thermal Studies of Zn (II), Cd (II) and Hg (II) Complexes of N-Methyl-N-Phenylthiocarbamate: The Single Crystal Structure of [(C<sub>6</sub>H<sub>5</sub>)(CH<sub>3</sub>)NCS<sub>2</sub>] 4Hg<sub>2</sub>, *International Journal of Molecular Sciences*, **12**(3), 1964–1978 (2011).
- [16] Nqombolo, A., Ajibade, P.A., Synthesis and Spectral Studies of Ni (II) Dithiocarbamate Complexes and Their Use as Precursors for Nickel Sulphides Nanocrystals, *Journal of Chemistry*, **2016** (2016).
- [17] منصوری ترشیزی، حسن؛ جهانگیری، سعید؛ بابایی زارچ، ملیحه؛ کنگان خدابخشی، زهرا؛ نژاشتی، فریده؛ حیدری، مجد، مصطفی؛ تهیه، شناسایی، ویژگی‌های ضدتومور، برهمکنش با DNA و تأثیر بار الکتریکی موجود روی نسبت‌های مولی گوناگون کمپلکس‌های Zn(II):Pd(II) در "ترکیب درمانی" آن‌ها، نشریه شیمی و مهندسی شیمی ایران، ۱۴۰۶، ۲، ۵۵ تا ۶۹ (۱۳۹۶).
- [18] اسماعیل زایی، زهرا؛ صبوری، علی اکبر؛ منصوری ترشیزی، حسن؛ سعیدی فر، مریم؛ دیوسالار، عادله؛ مطالعه برهمکنش کمپلکس‌های نیکل (II) دارای لیگاندهای آروماتیک مسطح با DNA غده تیموس، نشریه شیمی و مهندسی شیمی ایران، ۱۴۰۲، ۲، ۱ تا ۱۳ (۱۳۹۲).
- [19] Castillo, M., Criado, J.J., Macias, B., Vaquero, M.V, Chemistry of Dithiocarbamate Derivatives of Amino Acids. I. Study of Some Dithiocarbamate Derivatives of Linear  $\alpha$ -Amino Acids and Their Nickel (II) Complexes, *Inorganica Chimica Acta*, **124**(3), 127–132 (1986).
- [20] Alverdi, V., Giovagnini, L., Marzano, C., Seraglia, R., Bettio, F., Sitran, S., Graziani, R., Fregona, D., Characterization Studies and Cytotoxicity Assays of Pt (II) and Pd (II) Dithiocarbamate Complexes by Means of FT-IR, NMR Spectroscopy and Mass Spectrometry, *Journal of Inorganic Biochemistry*, **98**(6), 1117–1128 (2004).
- [21] Tušek-Božić, L., D'Alpaos, M., Ćurić, M., Lyčka, A., Synthesis and Characterization of Metallocyclic Complexes of Palladium (II) with Monoalkyl ( $\alpha$ -Anilino-N-benzyl) phosphonates, *Croatica Chemica Acta*, **74**(4), 825–836 (2001).

- [22] Manav, N., Mishra, A.K., Kaushik, N.K., *In Vitro Antitumour and Antibacterial Studies of Some Pt (IV) Dithiocarbamate Complexes*, *Spectrochimica Acta Part A: Molecular and Biomolecular Spectroscopy*, **65**(1), 32–35, (2006).
- [23] Nakamoto, K., *Infrared and Raman Spectra of Inorganic and Coordination Compounds, Handbook of Vibrational Spectroscopy*, (2006).
- [24] Hadjikostas, C.C., Katsoulos, G.A., Sigalas, M.P., Tsipis, C.A., *Carbodithioato Derivatives of Weak Nitrogenous Nucleophiles. I. Electronic Structure and Ground State Properties of Ni (II) Amide N-Carbodithioates*, *Canadian Journal of Chemistry*, **67**(5), 902–909 (1989).